

Xeon Phi KNL におけるブラソフコードの性能評価(3)

梅田 隆行^{†1} 深沢 圭一郎^{†2}

Vlasov コードは宇宙空間を満たす無衝突プラズマの第一原理シミュレーション手法である。Vlasov シミュレーションでは、位置及び速度で与えられる超多次元位相空間における荷電粒子の分布関数の時間発展を、運動論方程式により Euler 型の数値解法を用いて直接解き進めている。4次元以上の空間を扱うシミュレーションでは、ノードあたり、あるいはコアあたりに使用できるメモリ容量の制限から、数値解法や性能チューニングにおいて様々な工夫が必要である。本研究グループはこれまでに様々な HPC 関連プロジェクトと通じて、Vlasov コードの性能チューニングを行ってきた。本講演では、Xeon Broadwell プロセッサ上においてチューニングを行った新たな Vlasov コードに対して、Xeon Phi Knights Landing (KNL) プロセッサにおいてメモリモードとクラスタモードを変更したときの性能測定結果について報告する。

Performance evaluation of Vlasov code on the Xeon Phi KNL (3)

TAKAYUKI UMEDA^{†1} KEIICHIRO FUKAZAWA^{†2}

Vlasov code is a first-principle simulation method for collisionless space plasma. The Vlasov code solves the time development of phase-space distribution functions of charged particles in hyper-dimensions based on fully kinetic equations with the Eulerian grids. Since the distribution functions are defined in more than four dimensions, the Vlasov code requires high-resolution and high-performance numerical schemes which should work in limited computational memory per node or per core. Our Vlasov code has been made performance tuning on various scalar CPU architectures under Japanese HPC projects. In the present study, the performance tuning of our Vlasov code is made on the Xeon Broadwell processor. The performance of the new code is measured on the Xeon Phi KNL (Knights Landing) processor with various combinations of the memory mode and the cluster mode.

1. はじめに

我々が住む宇宙の 99.99%以上の体積はプラズマと呼ばれる電離気体で占められている。宇宙空間に存在するプラズマの大部分は密度が非常に小さく無衝突状態にあり、宇宙プラズマ（無衝突プラズマ）を理解することは、宇宙の本質的な理解につながる。

我々が住む地球周辺の宇宙環境は、太陽から放出された高速のプラズマ流である太陽風及び太陽風が運ぶ惑星間空間磁場（太陽の固有磁場）と、地球の固有磁場との相互作用によって複雑な磁気圏構造を形成している。プラズマ放出現象をはじめとする太陽の様々な変動により、宇宙飛行士の被曝、人工衛星の故障や通信障害に繋がる地球磁気圏・電離圏の環境変動が引き起こされ、これを宇宙天気と呼ぶ。近年の国際宇宙ステーションでの活動や人工衛星の打ち上げなど、日本においても宇宙利用が現実的になってきており、宇宙天気の前報・予測に繋がる宇宙プラズマ研究は極めて重要である。

地球磁気圏内には、プラズマの密度や温度などの物理パラメータが異なる様々な領域が生じる。その領域間の境界層で現れる不安定性（平衡状態の破れ）は、磁気圏の変動に大きな影響を与えていると考えられている。グローバル磁気圏構造に対して、境界層不安定性は中間（メゾ）スケ

ール現象と呼ばれる。これらのグローバル及び中間スケールの現象は、粒子運動論を扱う方程式である Vlasov（無衝突 Boltzmann）方程式の 0 次・1 次・2 次のモーメントを取ることによって求められる磁気流体力学（MHD）方程式によって記述される。しかし、近年の科学衛星による高精度な「その場」観測では、中間スケールの不安定性において MHD 方程式で記述できる物理過程と粒子の運動論方程式によって記述できる物理過程が結合していることを示唆している。これらのマルチスケールの磁気圏変動である宇宙天気を真に理解するためには、全てのスケールをシームレスに扱える運動論方程式（第一原理）によるシミュレーションが本質的である。

プラズマの運動論シミュレーションには 2 つの手法がある。1 つは、プラズマ粒子であるイオンや電子などの個々の荷電粒子の運動を、Newton-Coulomb-Lorentz 方程式により解き進める PIC (Particle-In-Cell) 法である。格子点 (Cell) 上に定義された電磁場中を粒子が動きまわることから、このように呼ばれている。宇宙空間に存在する膨大な数の荷電粒子を有限の計算機資源で扱うことは不可能であるため、ある程度まとまった数の荷電粒子の集団を 1 つの“超”粒子として扱う。PIC 法はその数値解法の完成度が高く、プラズマ科学分野では広く用いられている。しかし、プラズ

^{†1} 名古屋大学宇宙地球環境研究所
Institute for Space-Earth Environmental Research, Nagoya University

^{†2} 京都大学学術情報メディアセンター
Academic Center for Computing and Media Studies, Kyoto University

マを超粒子として扱うことにより熱雑音が大きくなること、電荷密度や電流密度などの荷電粒子の運動に起因する場の量を格子点上に割り振る際に生じる高波数モードが数値誤差として蓄積すること、さらに並列化の際に負荷のバランス（各プロセス内の粒子数の均一性）を保つために特殊なデータの分割が必要になることなどの欠点がある。

一方もう1つの手法である Vlasov 法は、位置-速度位相空間に定義されたプラズマ粒子の分布関数の発展を Vlasov 方程式により直接解き進める方法である。格子点上に定義された分布関数は熱雑音を持たず、また流体シミュレーションと同様に並列計算も容易である。しかし、Vlasov 方程式は実空間 3 次元及び速度空間 3 次元の計 6 次元を扱う方程式であり、コンピュータで解くには膨大なリソースを必要とする。このため、その手法の開発はあまり進んでいない。実際、ここ数年の HPC プロジェクトによる計算機環境の飛躍的に向上によって手法の開発が進み、実空間 2 次元及び速度空間 3 次元の 5 次元シミュレーションがようやく実用の域に達しつつある段階である。

本研究の最終的な目的は、プラズマシミュレーションとしては「次々々」世代の技術にあたる第一原理 Vlasov シミュレーション手法を世界に先駆けて確立し、プラズマ科学に基づいた宇宙天気の実現に貢献することにある。そのための準備として、現存する超並列計算機上における 5 次元 Vlasov コードの性能評価及び性能チューニングを行っている。

これまでの研究において様々な超並列計算機での Vlasov コードの性能評価を行ってきた。本研究では、メニーコアプロセッサである Xeon Phi KNL (Knights Landing) における Vlasov コードの性能測定を行う。また、Xeon Broadwell プロセッサにおける性能との比較を行った。

2. 計算手法の概要

2.1 基礎方程式

無衝突プラズマの振る舞いは、以下の Vlasov (外力を電磁力とした無衝突 Boltzmann) 方程式によって記述される。

$$\frac{\partial f_s}{\partial t} + \mathbf{v} \cdot \frac{\partial f_s}{\partial \mathbf{r}} + \frac{q_s}{m_s} (\mathbf{E} + \mathbf{v} \times \mathbf{B}) \cdot \frac{\partial f_s}{\partial \mathbf{v}} = 0 \quad (1)$$

ここで \mathbf{E} , \mathbf{B} , \mathbf{r} および \mathbf{v} はそれぞれ電場、磁場、位置、速度を表す。また、 $f_s(\mathbf{r}, \mathbf{v}, t)$ は位置-速度位相空間におけるプラズマ粒子の分布関数であり、 s はイオンや電子など種類を示す。また q_s と m_s はそれぞれ電荷と質量を表す。

プラズマ粒子の分布関数は、電磁場によって変形する。電磁場の時空間発展は以下の Maxwell 方程式によって記述される。

$$\nabla \times \mathbf{B} = \mu_0 \mathbf{J} + \frac{1}{c^2} \frac{\partial \mathbf{E}}{\partial t} \quad (2.1)$$

$$\nabla \times \mathbf{E} = -\frac{\partial \mathbf{B}}{\partial t} \quad (2.2)$$

$$\nabla \cdot \mathbf{E} = \frac{\rho}{\epsilon_0} \quad (2.3)$$

$$\nabla \cdot \mathbf{B} = 0 \quad (2.4)$$

ここで \mathbf{J} は電流密度、 ρ は電荷密度、 μ_0 は真空中の透磁率、 ϵ_0 は真空中の誘電率、 c は光速を示す。Vlasov 方程式(1)を速度空間で積分すると、以下の電荷保存則が得られる。

$$\nabla \cdot \mathbf{J} + \frac{\partial \rho}{\partial t} = 0 \quad (3)$$

Maxwell 方程式(2.1)に含まれる電流密度 \mathbf{J} はプラズマの運動によって生じ、これにより電磁場が変化する。電流密度 \mathbf{J} は Vlasov 方程式(1)の第二項にあたる実空間の流束 $\mathbf{v} f_s$ を速度空間で積分することによって求まり、電流密度 \mathbf{J} が電荷保存則(3)を満足する限り、Poisson 方程式(2.3)は自動的に満たされる。

以上の方程式は、Vlasov コードにおいて解いているプラズマ粒子の運動論方程式であり、無衝突プラズマの第一原理と呼ぶ。

2.2 数値解放の概要

Vlasov 方程式は 4 次元以上の「超次元」を扱う方程式であり、そのままの形で多次元数値積分を行うのは非常に困難であるため、演算子分離 (operator splitting) 法が古くから用いられてきた[1]。過去の研究では、各次元 (x , y , z , v_x , v_y , v_z) それぞれを 1 次元移流方程式に分解する方法が採用されていたが、本研究では、以下のように実空間移流、速度空間移流、速度空間回転の 3 つの物理的な演算子に分離する手法を用いている[2]。

$$\frac{\partial f_s}{\partial t} + \mathbf{v} \cdot \frac{\partial f_s}{\partial \mathbf{r}} = 0 \quad (4.1)$$

$$\frac{\partial f_s}{\partial t} + \frac{q_s}{m_s} \mathbf{E} \cdot \frac{\partial f_s}{\partial \mathbf{v}} = 0 \quad (4.2)$$

$$\frac{\partial f_s}{\partial t} + \frac{q_s}{m_s} (\mathbf{v} \times \mathbf{B}) \cdot \frac{\partial f_s}{\partial \mathbf{v}} = 0 \quad (4.3)$$

この演算子分離は、PIC 法において Newton-Coulomb-Lorentz 式 (荷電粒子の運動方程式) を時間 2 次精度で解く手法として広く用いられている leap-frog アルゴリズムに基づいている。

本研究では、演算子分離による数値拡散を抑制するために、多次元の線形移流方程式に対する演算子非分離 (unsplitting) 法を新たに開発している[2]。また本研究では、無振動性及び正值性を保証するリミッタを新たに開発し、数値振動の抑制を行っている[3,4]。ここで無振動スキームとは、ある区間において新たな極値 (極大, 極小) を生じず、既に存在する極値は (できるだけ) 減衰させないスキームであり、ENO/WENO 法はこれに該当するが、TVD 法

は極地を鈍らせるために該当しない。

式(4.3)は荷電粒子の速度が磁力線により運動エネルギーを保ったまま変化する回転方程式を表す。直交座標系における回転方程式は剛体回転問題と等価であり、線形移流問題と同様に、数値計算において最も基本的であるが、計算精度が重要となる問題である。本研究で採用している back-substitution 法[5]では、Boris アルゴリズム[6]に基づいて速度空間での粒子の軌道をバックトレースし、 v_x , v_y , v_z 方向それぞれの演算子を分離して回転運動を解いている。剛体回転問題では、系の外側、即ち速度空間において速度が速くなればなるほど移動量(加速)は大きくなり、Courant 条件の影響を受けやすくなる点に注意が必要であり、今後、陰解法や演算子非分離法の開発が必要である。

以上のように、Vlasov 方程式の数値解法は未だ発展途上である。この大きな原因は、Vlasov コードで扱う次元が多いためであり、開発やデバッグのために大容量の共有メモリ環境が必要となるからである。

一方、Maxwell 方程式(2.1)及び(2.2)は、FDTD (Finite Difference Time Domain) 法と呼ばれる電磁場解析法を用いて解く。FDTD 法では、Yee 格子[7]と呼ばれる staggered 格子を用いており、式(2.4)が自動的に満たされるように物理量が配置されている。また leap-frog アルゴリズムに基づいて電場と磁場を半タイムステップずらしてあり、時空間精度は2次である。

2.3 ハイブリッド並列

Vlasov シミュレーションでは非常に多くのメモリを必要とするため、並列計算が必須となる。Vlasov コードで使用する物理量は全て格子点上で与えられており、並列化においては領域分割法が有効である。図1は実空間2次元及び速度空間3次元を使用する5次元 Vlasov コードにおける並列化の概念を示す。我々の目は4次元以上の空間を認識できないが、2次元実空間の各格子点上に3次元速度空間(速度分布関数)が定義されていると考えると分かりやすい。本研究では図1のように実空間($x-y$ 平面)においてのみ領域分割を行い、速度空間の領域分割は行わない[8]。これは、電荷密度や電流密度などのモーメント量を計算する際に必要な速度空間の積分において、各実空間での reduction 処理を行わないようにするためである。

本研究グループの Vlasov コードでは、OpenMP によるスレッド並列も併用している。経験的に、Fujitsu FX シリーズにおいては、ハイブリッド並列のほうが flat-MPI 並列よりも効率的になる場合が多い。数年前では Xeon プロセッサ (SandyBridge, IvyBridge など) においても、ハイブリッド並列のほうが flat-MPI 並列よりも効率的になるケースが出てきた。また、京コンピュータ 6144 ノードの実利用経験よ

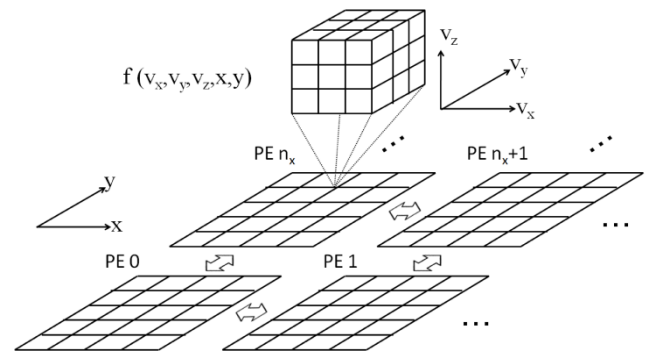


図1 5次元 Vlasov コードにおける空間領域分割[8].

Figure 1 The domain decomposition in the configuration space for the five-dimensional Vlasov code [8].

り、IO 処理や分散ファイルのデータ解析などの観点からプロセス数をできるだけ減らしたほうが利点は大きい。スレッド並列はそのオーバーヘッドの大きさから、できるだけより外側のループで行うのが効率的である。しかし、Vlasov モデルは4次元以上の超次元を扱い、メモリ使用量が非常に多いため、速度空間の格子点を 30^3-60^3 に固定してコアあたりのメモリ使用量 1-4GB に設定しつつ、使用ノード数を増やして計算領域(実空間の格子数)を拡張していくのが実際の超並列計算機の利用方法である。近年の計算機においては、ノード内の共有メモリの容量は増えずにコア数のみが増加していく傾向にあるため、単一のループのみをスレッド化する単純な方法には限界がある。本研究グループの Vlasov コードでは、OMP DO ディレクティブの COLLAPSE オプションを最外側ループに挿入することにより、多重ループのスレッド化を行う。これにより、スレッド数を増やしたときに発生するオーバーヘッドを軽減することができる[9]。本研究で使用する5次元コードでは、 x 軸及び y 軸の2次元についてスレッド並列を行う。

3. 計算機環境

本研究で使用した計算機環境は以下のとおりである。CPUとして Xeon Phi 7250 (Knights Landing)を1つ搭載し、DDR4の共有メモリを96GB有する。この Xeon Phi プロセッサは16GBの Multi-Channel Dynamic Random Access Memory (MCDRAM)と呼ばれる高速メモリを有する。タイル数は34(コア数は68)であり、Hyper threading (HT)機能により272スレッドを同時実行できる。またコンパイラは Intel Parallel Studio XE Cluster Edition Ver.17.0.1.132を搭載し、コンパイラオプションとして“-ipo -ip -O3 -xMIC-AVX512”を使用した。

MCDRAMは帯域400GB/s以上を有し、DDR4メインメモリ(~90GB/s)よりも高速である。Xeon Phi KNLには、こ

のMCDRAMの利用方法として3つのメモリモードがある。Flatモードでは、MCDRAMとDDR4メインメモリを1つの共有メモリとして使用する。Cacheモードでは、MCDRAMをCPUのLevel2キャッシュとDDR4メインメモリの間のLevel3キャッシュとして使用する。またこれらを混在したHybridモードも存在するが、本研究では利用しない。Flatモードにおいては、“numactl”コマンドによってデータのメモリへの配置を変更する。オプション“-m”は“--membind”の略であり、データを特定のNUMAノードに配置する。オプション“-p”は“--preferred”の略であり、データを優先的に配置するNUMAノードを指定する。Xeon Phi KNLではNUMAノード0番がDDR4メインメモリであり、NUMAノード1番がMCDRAMである。

CPUコア群の分割方法として5つのクラスタモードがある。All2Allモードでは、データがメモリアドレスに従ってMCDRAM上の一様に配置される。Hemisphereモードでは、CPUコア群を仮想的に2つに分割し、各CPUコア群がアクセスするデータがより近いMCDRAM上に配置される。Quadrantモードでは、CPUコア群を仮想的4つに分割される。SNC(Sub-NUMA Clustering)-2モードでは、CPUコア群を2つに分割し、2ソケットCPU構成のような機能をする。またSNC-4モードではCPUコア群を4つに分割し、4ソケットCPU構成のような機能をする。

4. 性能測定

まず、クラスタモードをAll2Allとし、メモリモードをFlatとしたときのコードの性能を測定した。測定に使用した格子数は、 $N_x * N_y * N_{vx} * N_{vy} * N_{vz} = 66 * 36 * 40 * 40 * 40$ (以下“small”とする)、 $N_x * N_y * N_{vx} * N_{vy} * N_{vz} = 126 * 66 * 40 * 40 * 40$ (以下“large”とする)、 $N_x * N_y * N_{vx} * N_{vy} * N_{vz} = 278 * 142 * 40 * 40 * 40$ (以下“huge”とする)の3通りである。これらのメモリ使用量は、作業配列も含めると“small”が約6GB、“large”が約24GB、“huge”が約114GBであり、それぞれMCDRAMの容量を超えない、MCDRAMの容量を超える、DDR4メインメモリの容量を超えるサイズである。また、numactlコマンドのオプションを“-m 0”、“-m 1”、“-m 01”、“-p 0”、“-p 1”の5通りに変化させた。これらの条件下において計算ノード当たりのプロセス数およびプロセス当たりのスレッド数を変化させたときの、時間ステップ5つ分の経過時間(elapsed time)を測定した結果を図2に示す。

まず、“-m 0”、“-m 01”、“-p 0”の性能は計算サイズに依らずにほぼ同等である。また、“-m 1”と“-p 1”の性能も計算サイズに依らずにほぼ同等である。largeサイズの場合、オプション“-m 1”を指定するとjobがswap領域を使用し、計算が遅くなる。またhugeサイズの場合においても、オプション“-m 0”および“-m 1”を指定する

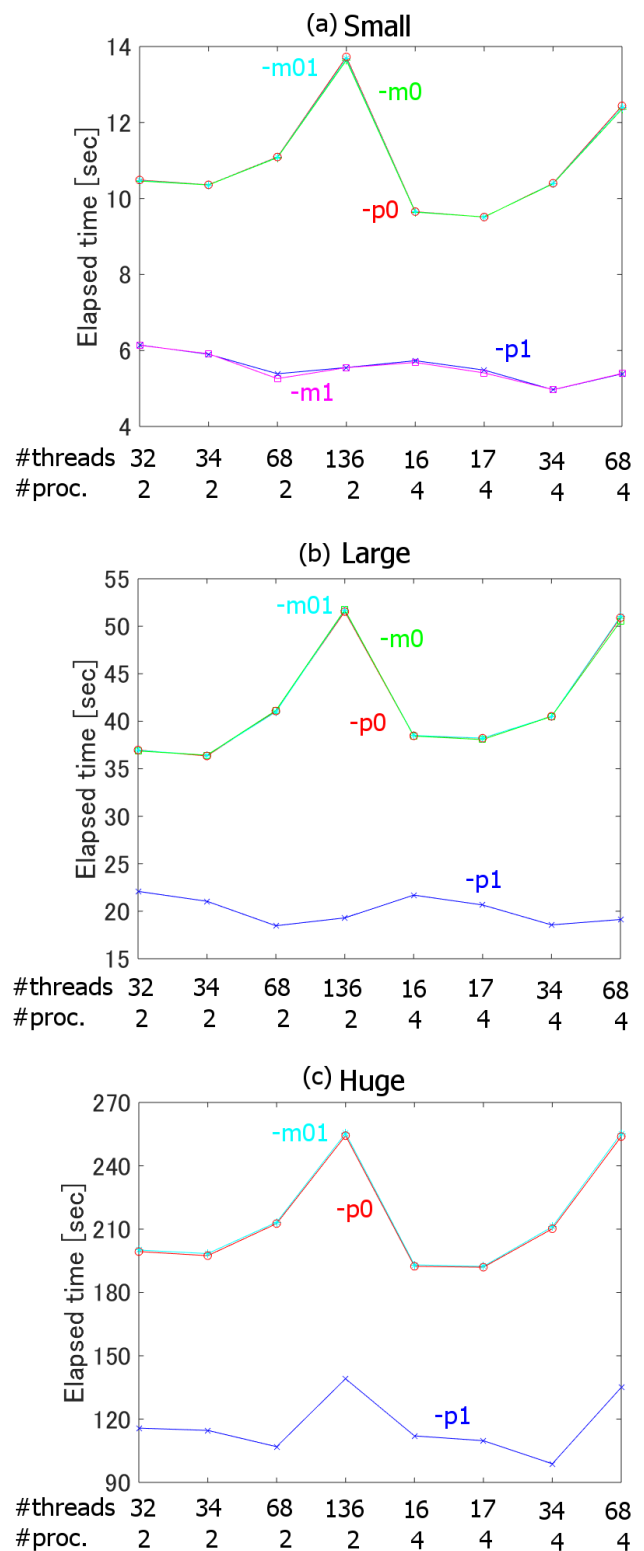


図2 Flatメモリモードを用いたXeon Phi KNL 1プロセッサにおけるVlasovコードの性能。計算サイズおよびnumactlのオプションを変えたときの性能比較。

Figure 2 Performance characteristics of the Vlasov code on a single processor of the Xeon Phi KNL with the Flat memory mode. Comparison among three sizes of the job and various option of the “numactl” command is shown.

と job が swap 領域を使用した。

どの計算サイズにおいても、MCDRAM が有効利用されている場合とされていない場合において約 1.8 倍の性能差が出た。MCDRAM が有効利用されていない場合、プロセス数とコア数の積が 68 を超えて HT 機能が有効になったときに性能が低下した。一方、MCDRAM が有効利用されている場合には、プロセス数とコア数の積が 136 のときに性能が高く、プロセス数 4 およびスレッド数 34 のときに最速であった。また small サイズの場合、オプション “-m 1” を利用した場合が最速であった。

これらの結果を踏まえ、メモリモードの Flat モードおよび Cache モードにおけるコードの性能比較を行った。クラスタモードは All2All に固定し、計算サイズは “small” および “large” の 2 つを使用した。Flat においては、“small” の場合は “numactl -m 1” を指定し、“large” の場合は “numactl -p 1” を指定した。

ノード当たりのプロセス数およびプロセス当たりのスレッド数を変化させたときの、時間ステップ 5 つ分の経過時間 (elapsed time) を測定した結果を図 3 に示す。また参考のため、dual Xeon Broadwell (E5-2697 v4) プロセッサ上における性能も示す。図 3 より、Xeon Phi KNL と dual Xeon Broadwell 間において、大きな性能差がないことが分かる。MCDRAM および HT 機能により、Xeon Phi KNL のほうが dual Xeon Broadwell 環境よりも若干コードの性能が高い。

Small サイズの場合、Flat モードのほうが Cache モードよりもコードの性能が高く、この傾向は HT が有効である場合により顕著であった。一方で、large サイズの場合、Cache モードのほうが Flat モードよりもコードの性能が高いことが分かった。Vlasov シミュレーションにおいては、ノード当たりの Job のサイズが 16GB を下回ることは極めて稀であり、Xeon Phi KNL の運用として Cache モードを用いることを奨励する。

また Xeon Broadwell にも HT 機能は付いているが、dual Xeon Broadwell 環境において HT 機能を有効にした (プロセス数とスレッド数の積が 36 を超えた) 場合、コードの性能が低下することが分かった。この結果は、MCDRAM が有効利用されている場合にのみ、HT 機能も有効利用されることを示唆している。

最後に、メモリモードを Cache モードに固定し、クラスタモードを All2All, Hemisphere, Quadrant, SNC-2 および SNC-4 の 5 つに変化させ、コードの性能を比較した。図 4 に、ノード当たり 2 プロセスおよび 4 プロセスを用いた場合にスレッド数を変更したときの強スケール特性を示す。ノード当たり 2 プロセスおよび 4 プロセスのどちらの場合においても、34 スレッドまではほぼ線形にスケールし、68 スレッドにおいて HT 機能で性能が若干向上し、136 スレッドにおいて性能が劣化した。これらの計測結果は、クラスタモード間においてコードの性能差がほとんど出ないこ

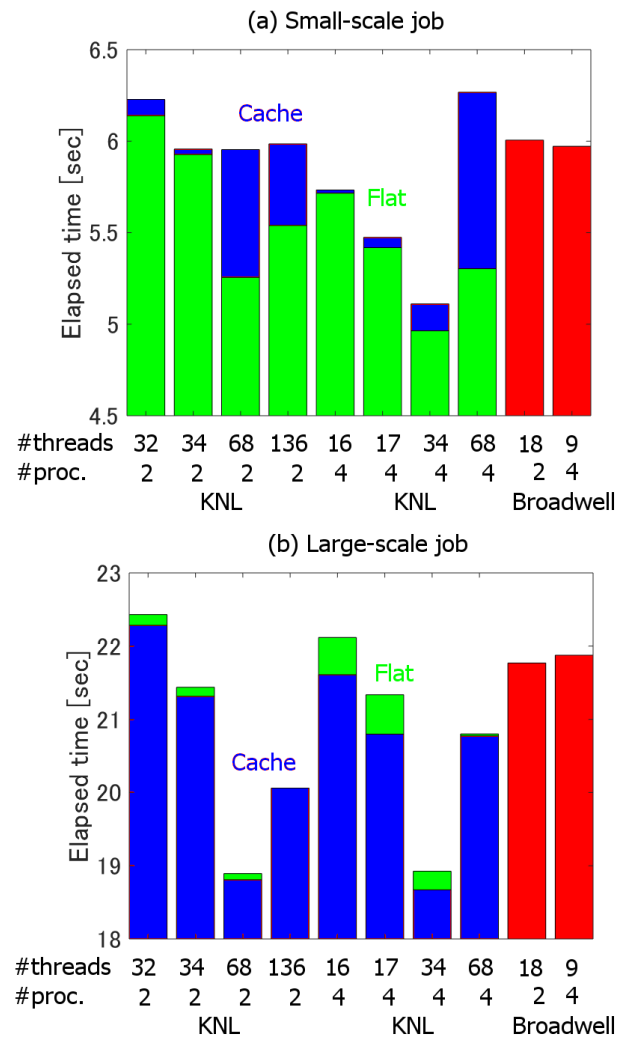


図 3 様々なノード当たりのプロセス数およびプロセス当たりのスレッド数を用いた、Flat および Cache メモリモードを用いた Xeon Phi KNL 1 プロセッサおよび Xeon Broadwell 2 プロセッサにおける Vlasov コードの性能比較。

Figure 3 Performance comparison of the Vlasov code on a single processor of the Xeon Phi KNL with the Flat and Cache memory mode and dual Xeon Broadwell processors with various number of processes per compute node and number of threads per process.

とを示す。ノード当たり 2 プロセスおよび 4 プロセスのどちらの場合においても、Quadrant モードを用いたときにコードの性能が最も高く、SNC-4 モードを用いたときのコードの性能が最も低かった。Xeon Phi 7250 プロセッサはタイル数が 34 であり、SNC-4 モードでタイルを分割したときに各 NUMA ノードにおいてタイル数に偏りが生じる。これが、SNC-4 モードを用いたときの性能劣化の原因だと推測する。

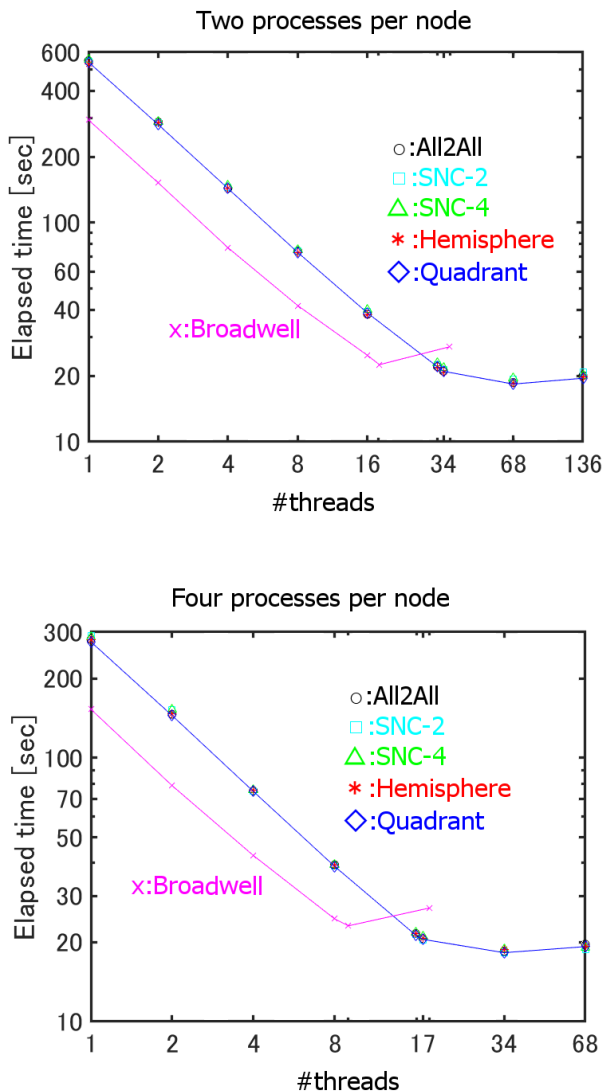


図4 様々なクラスタモードを用いた Xeon Phi KNL 1 プロセッサおよび Xeon Broadwell 2 プロセッサにおける Vlasov コードの強スケール特性。

Figure 4 Characteristics for the strong scaling of the Vlasov code on a single Xeon Phi KNL processor with various Cluster modes and a dual Xeon Broadwell processors.

5. おわりに

Vlasov コードは、宇宙空間に広く存在する無衝突プラズマの第一原理シミュレーション手法である。プラズマは位置-速度位相空間における分布関数として定義され、多次元の Euler 変数として与えられる。多次元 Vlasov シミュレーションは計算負荷が非常に高く、その手法の開発やデバッグが容易ではないため、計算手法は未だ発展途上

にある。Euler 型のコードは基本的にメモリバンド幅が性能のネックになるため、MCDRAMをはじめとした近年の高速バンド幅メモリ (High-Bandwidth Memory : HBM) がコードの性能に与える影響について調査する必要がある。本研究では、2次元実空間及び3次元速度空間を扱う5次元 Vlasov コードについて、Xeon Phi KNL (Knights Landing) において性能測定を行った。

まず、Flat メモリモードを用いた場合の Vlasov コード性能について、計算サイズを変えて比較を行った。使用メモリ量が MCDRAM の容量を超えない場合、DDR メインメモリを使用せずに MCDRAM のみを利用したほうが高速に計算できることが分かった。また Flat メモリモードのほうが Cache メモリモードよりもコードの性能が高いことが分かった。一方、使用メモリ量が MCDRAM の容量を超える場合、MCDRAM を優先的に利用するよう NUMA ノードの設定を行うと、性能の劣化が少ないことが分かった。またこの場合、Cache メモリモードを用いたほうがコードの性能が高いことが分かった。

メモリモードを Cache モードに固定してクラスタモードを変化させた場合、クラスタモードによるコードの性能差はほとんどないことが分かった。タイル数が4で割り切れない場合は、SNC-4 モードにおいて若干のコードの性能劣化が見られ、Quadrant モードを用いた場合にコードの性能が最も高かった。

以上の結果より、Euler 型のコードを動作させる場合、Xeon Phi KNL プロセッサの運動方法は、Cache メモリモード・Quadrant クラスタモードおよび HT 機能 ON を推奨する。

シングルプロセッサ構成の Xeon Phi KNL は、デュアルプロセッサ構成の Xeon Broadwell とコードの実効性能はほぼ同じであるため、コードの実効効率率は低い。しかし、今後のコンパイラのバージョンアップによって AVX512 へのコードの最適化が進んだ場合、Xeon Phi KNL におけるコードの性能はさらに向上する可能性がある。

本研究結果は、DDR4 メインメモリのみの場合に比べて、MCDRAM は Vlasov コードの性能を約 1.8 倍にすることが分かった。つまり、HBM は Euler 型のコードにおいてその高速に重要な役割を果たす。また MCDRAM を HT 機能と併用すると、コードの性能が若干向上することが分かった。一方、通常の Xeon プロセッサにも HT 機能は付いているが、Xeon プロセッサには HBM が無いため、HT 機能のみを用いるとむしろコードの性能が劣化するので注意が必要である。

参考文献

1. Cheng, C. Z., Knorr, G.: The integration of the Vlasov equation in configuration space, *J. Comput. Phys.*, Vol.22, No.3, 330—351 (1976).
2. Umeda, T., Togano, K., Ogino, T.: Two-dimensional full-electromagnetic Vlasov code with conservative scheme and its application to magnetic reconnection, *Comput. Phys. Commun.*, Vol.180, No.3, 365—374 (2009).
3. Umeda, T.: A conservative and non-oscillatory scheme for Vlasov code simulations, *Earth Planets Space*, Vol.60, No.7, 773—779 (2008).
4. Umeda, T., Nariyuki, Y., Kariya, D.: A non-oscillatory and conservative semi-Lagrangian scheme with fourth-degree polynomial interpolation for solving the Vlasov equation, *Comput. Phys. Commun.*, Vol.183, No.5, 1094—1100 (2012).
5. Schmitz, H., Grauer, R.: Comparison of time splitting and backsubstitution methods for integrating Vlasov's equation with magnetic fields, *Comput. Phys. Commun.*, Vol.175, No.2, 86—92 (2006).
6. Boris, J. P.: Relativistic plasma simulation-optimization of a hybrid code, *Proc. Fourth Conf. Num. Sim. Plasmas*, ed. by J. P. Boris and R. A. Shanny, pp.3—67, Naval Research Laboratory, Washington D. C. (Nov. 1970).
7. Yee, K. S.: Numerical solution of initial boundary value problems involving Maxwell's equations in isotropic media, *IEEE Trans. Antenn. Propagat.*, No.14, No.3, 302—307 (1966).
8. Umeda, T., Fukazawa, K., Nariyuki, Y., Ogino, T.: A scalable full electromagnetic Vlasov solver for cross-scale coupling in space plasma, *IEEE Trans. Plasma Sci.*, Vol.40, No.5, 1421—1428 (2012).
9. Umeda, T., Fukazawa, K.: Hybrid parallelization of hyper-dimensional Vlasov code with OpenMP loop collapse directive, *Adv. Parallel Comput.*, Vol.27, 265—274 (2016).